

共轭二茂铁席夫碱配合物的制备和电化学性质研究

毛薇莉 李一志 苏扬 田正芳 章文伟*

(南京大学配位化学国家重点实验室,南京大学配位化学研究所,南京大学化学化工学院,南京 210093)

摘要: 合成了2个共轭二茂铁席夫碱配合物,用元素分析、红外光谱、紫外光谱、核磁共振等对它们进行了表征及电化学性质研究,并用X射线衍射测定了它们的晶体结构。配合物**1**存在反演中心,其晶体属单斜晶系, $P2_1/c$ 空间群。晶体学数据为: $a=1.148\,5(2)\text{ nm}$, $b=0.857\,75(17)\text{ nm}$, $c=1.194\,4(2)\text{ nm}$, $\beta=99.980(5)^\circ$, $V=1.158\,8(4)\text{ nm}^3$, $Z=2$, $\mu=1.499\text{ mm}^{-1}$, $D_c=1.562\text{ g}\cdot\text{cm}^{-3}$, $R_i=0.068\,9$, $wR_2=0.128\,0$ 。

关键词: 二茂铁; 席夫碱; 共轭配合物; 电化学性质

中图分类号: O614.81+ 文献标识码: A 文章编号: 1001-4861(2007)07-1201-05

Study on the Synthesis and Electrochemical Properties of Conjugated Complexes Containing Ferrocenyl and Schiff-base Group

MAO Wei-Li LI Yi-Zhi SU Yang TIAN Zheng-Fang ZHANG Wen-Wei*

(State Key Laboratory of Coordination Chemistry, Coordination Chemistry Institute,
School of Chemistry and Chemical Engineering, Nanjing University, Nanjing 210093)

Abstract: Two ferrocenyl conjugated Schiff-base compounds were synthesized and characterized by elemental analysis, IR, UV, NMR, CV, etc. The crystal structure was determined by X-ray diffraction method. Complex **1** is arranged inversion center, and its crystal belongs to monoclinic system with space group $P2_1/c$. The crystallographic data are: $a=1.148\,5(2)\text{ nm}$, $b=0.857\,75(17)\text{ nm}$, $c=1.194\,4(2)\text{ nm}$, $\beta=99.980(5)^\circ$, $V=1.158\,8(4)\text{ nm}^3$, $Z=2$, $\mu=1.499\text{ mm}^{-1}$, $D_c=1.562\text{ g}\cdot\text{cm}^{-3}$, $R_i=0.068\,9$, $wR_2=0.128\,0$. CCDC: 639670.

Key words: ferrocene; Schiff-base; conjugated complex; electrochemical property

含有延伸 π 电子共轭体系的金属有机化合物由于其在光、电、磁性等方面所具有的独特性能,已经引起了人们的广泛重视和深入研究^[1]。二茂铁及其衍生物是一类重要的金属有机化合物,由于其具有芳香性、氧化还原活性、稳定性、低毒性等不同寻常的性质,使其在不对称催化合成、磁性材料、液晶材料、生物医药以及光电信息等高技术领域具有重要的应用价值^[2]。此外,席夫碱也是一类非常重要的化合物,在酶催化作用、生物医药、功能材料等领域有着广阔的应用前景^[3]。本文通过缩合反应,合成了具有大 π 共轭体系的二茂铁席夫碱配合物,以期得

到新的具有特殊性能的化合物。对所合成的化合物进行了元素分析、红外、紫外、核磁共振谱等表征以及电化学性质的研究,并用X射线衍射确定了晶体结构。

1 实验部分

1.1 试剂和仪器

实验中所用试剂均为分析纯试剂。反应过程用TLC监控。TLC采用薄层层析硅胶GF254。柱层析用100~200目细孔硅胶。

熔点数据由北京泰克仪器有限公司生产的X-6

收稿日期:2007-03-28。收修改稿日期:2007-05-10。

教育部留学回国基金(No.0205133143)和南京大学国家自然科学基金预研基金(No.020522420111)资助项目。

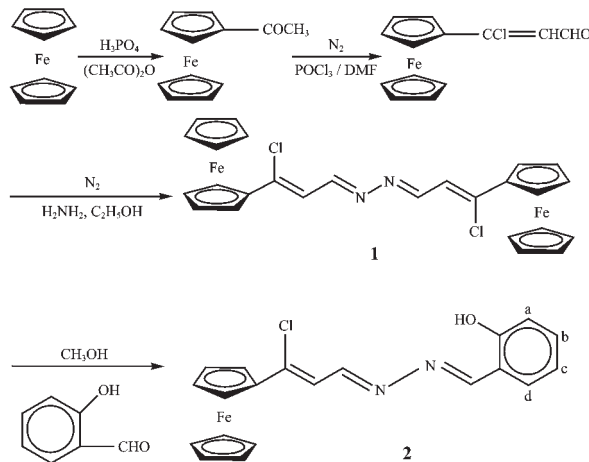
*通讯联系人。E-mail:wwzhang@nju.edu.cn

第一作者:毛薇莉,女,27岁,硕士研究生;研究方向:功能配合物。

显微熔点测定仪测定;元素分析由 Heraeus CHN-O-Rapid 型仪器测定;红外光谱数据用溴化钾压片法在 Bruker VECTOR 22 红外光谱仪上测定;核磁由 Bruker MD300 核磁共振仪测定。X 射线单晶衍射数据由 Bruker SMART APEX CCD 型晶体衍射仪收集;循环伏安图谱数据由上海辰华仪器有限公司生产的 CHI 660B 型电化学分析仪测定,整个过程采用三电极体系,铂圆盘电极作为工作电极, Ag^+/Ag 电极作为参比电极,铂丝电极作为对电极,高氯酸四丁基铵(TBAP)作为支持电解质,每个样品测定之前通 N_2 15~20 min 除氧。

1.2 配合物的合成

配合物 **1** 和 **2** 的合成流程如下图所示。



Scheme Synthesis procedure of complex **1** and **2**

1.2.1 配合物 **1** 的合成

氮气气下,将 0.25 mL 水合肼($\text{N}_2\text{H}_4 \cdot \text{H}_2\text{O}$)放入 100 mL 三颈瓶中,再加入 10 mL 无水乙醇溶液,搅拌使其完全溶解。通过恒压滴液漏斗,逐滴加入 0.1373 g (0.5 mmol) 2-甲酰-1-氯乙烯基二茂铁^[4]的无水乙醇溶液 (30 mL),80 °C 下搅拌回流 18 h。自然冷却、减压过滤、浓缩,残留物用二氯甲烷溶解并萃取 2 次后,用无水硫酸镁干燥。过滤、减压浓缩后所得棕色物用二氯甲烷进行柱层析,收集第一条谱带,浓缩后得到红棕色晶体(配合物 **1**)。产率 21.7%。元素分析 ($\text{C}_{26}\text{H}_{22}\text{Cl}_2\text{Fe}_2\text{N}_2$) 计算值 (%):C 57.29,H 4.07,N 5.14;实测值(%):C 57.27,H 4.09,N 5.21。IR

主要吸收峰为(cm^{-1}):2 964(m),2 924(m),1 607(s),1 573(m),1 258(m),818(m),495(m)。 ^1H NMR (300 MHz, CDCl_3 , ppm); δ 8.64(d, $J=9.40$ Hz, 2H, 2(HC=N)), 6.81(d, $J=9.39$ Hz, 2H, 2(HC=CCl)), 4.65(s, 4 α -H, 2 C_5H_4), 4.40(s, 4 β -H, 2 C_5H_4), 4.18(s, 10H, 2 C_5H_5)。

1.2.2 配合物 **2** 的合成

氮气气下,于 250 mL 三颈瓶中,将 0.96 g (3.3 mmol) 配合物 **1** 溶解在 60 mL 二氯甲烷和 50 mL 甲醇的混合液中,通过恒压滴液漏斗,逐滴加入 7 mL 水杨醛和 5 mL 冰醋酸,40 °C 下搅拌回流 3 d。自然冷却后减压过滤、浓缩,用二氯甲烷萃取两次,再用无水硫酸镁干燥。过滤,减压浓缩后所得棕色物用二氯甲烷和正己烷的混合液($V_{\text{二氯甲烷}}:V_{\text{正己烷}}=2:1$)进行柱层析,收集第一条谱带,浓缩后得到红棕色晶体(配合物 **2**)。产率 21.2%。元素分析($\text{C}_{26}\text{H}_{17}\text{Cl}_2\text{Fe}_2\text{N}_2\text{O}$)计算值(%):C 61.18,H 4.36,N 7.13;实测值(%):C 61.08,H 4.31,N 7.01。IR 主要吸收峰为(cm^{-1}):3 436(m),1 619(s),1 590(s),1 274(m),754(m),496(m)。 ^1H NMR (300 MHz, CDCl_3 , ppm); δ 11.69(s, 1H, OH), 8.68(d, $J=9.40$ Hz, 2H, 2(HC=N)), 7.37(m, 2H, Ha, Hc), 7.33(d, $J=8.1$ Hz, Hd), 6.96(m, Hb), 6.80(d, $J=9.0$ Hz, 1H, HC=CCl), 4.73(s, 2 α -H, C_5H_4), 4.48(s, 2 β -H, C_5H_4), 4.23(s, 5H, C_5H_5)。

1.3 配合物 **1** 晶体结构测定

选取尺寸大小为 0.30 mm × 0.26 mm × 0.24 mm 的配合物 **1** 晶体,使用 Bruker SMART APEX CCD 型晶体衍射仪,在 291(2) K 下,用单色化的 $\text{Mo K}\alpha$ 射线 ($\lambda=0.071073$ nm),以 $\varphi\text{-}\omega$ 扫描方式在 $2.94^\circ \leq \theta \leq 26.00^\circ$ 范围内共收集 7 118 个衍射点,其中 2 284 个独立衍射点($R_{\text{int}}=0.0454$),1 649 个可观察衍射点 [$I > 2\sigma(I)$] 用于结构分析和结构修正。全部数据经 Lp 因子和经验吸收校正,晶体结构采用 SHELXS-97 程序^[5]由直接法解出。对氢原子和非氢原子分别采用各向同性和各向异性热参数,用 SHELXL-97 程序^[6],以全矩阵最小二乘法对结构进行修正。有关晶体数据见表 1。

CCDC:639670。

表 1 配合物 **1** 的晶体学数据和结构参数

Table 1 Crystallographic data for complex **1**

Empirical formula	$\text{C}_{26}\text{H}_{22}\text{Cl}_2\text{Fe}_2\text{N}_2$	$\beta / (\text{°})$	99.980(5)
Formula weight	545.06	V / nm^3	1.158 8(4)
Temperature / K	291(2) K	$D_c / (\text{g} \cdot \text{cm}^{-3})$	1.562

续表 1

Color / habit	Prism / red	Z	2
Size / mm	0.30 × 0.26 × 0.24	F(000)	556
θ / (°)	2.94 to 26.00	μ(Mo Kα) / mm ⁻¹	1.499
Crystal system	Monoclinic	Reflections collections	7 118
Space group	P2 ₁ /c	Independent reflections (R_{int})	2 284 (0.045 4)
a / nm	1.148 5(2)	R_1 , wR ₂ ($I > 2\sigma(I)$)	0.068 9, 0.128 0
b / nm	0.857 75(17)	R_1 , wR ₂ (all data)	0.099 1, 0.133 0
c / nm	1.194 4(2)		

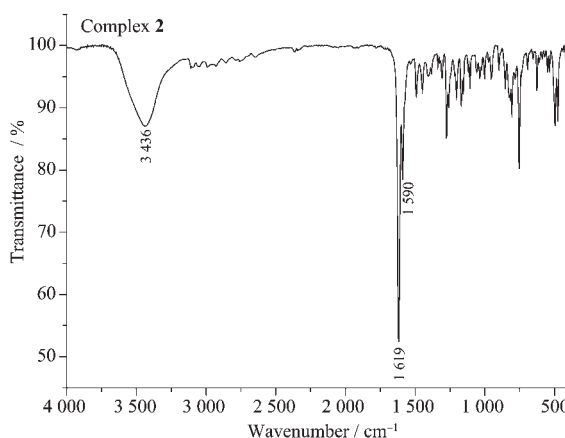
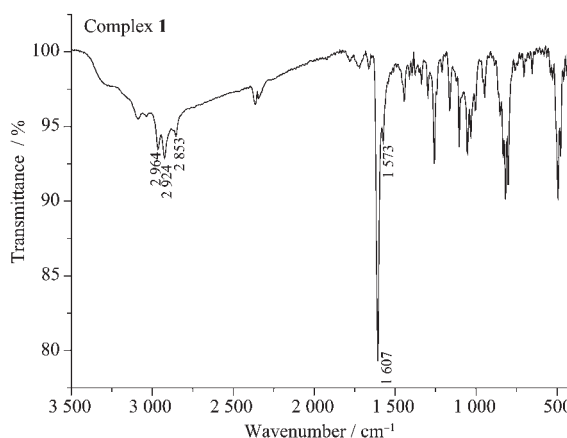
2 结果与讨论

2.1 配合物的红外、紫外可见光谱和核磁共振氢谱

在 4000~400 cm⁻¹ 范围内用溴化钾压片法测定了配合物的红外光谱,如图 1 所示。配合物 **1** 的 IR 光谱表明,在 2964、2924 和 2853 cm⁻¹ 处显示了= C-H 特征伸缩振动峰;在 1573 cm⁻¹ 处显示了 C=C 特征伸缩振动峰;在 1607 cm⁻¹ 处有 1 个很强的吸收峰,它是 C=N 的特征吸收峰,表明醛基和氨基发生了缩合反应,生成了席夫碱。由 IR 光谱可以推测,配合物 **1** 与水杨醛发生了反应。在 240~700 nm 范围内测定了配合物 **1** 在 CH₂Cl₂ 溶液中的 UV 光谱,如图 2 所示。在图中可见配合物 **1** 在 371 nm 处有很强的吸收峰,其摩尔吸收系数 ε=18 625,属于 π → π* 跃迁吸收峰^[7];在 515 nm 处有强的吸收峰,摩尔吸收系数 ε=4 945,属于 MLCT 跃迁吸收峰^[7]。配合物 **1** 的 π → π* 跃迁和 MLCT 跃迁相对于二茂铁均发生了明显的红移,这与该化合物具有非常大的共轭体系相一致。根据所测核磁共振氢谱,配合物 **1** 中的 HC=N 呈现 1 个双峰,化学位移 δ=8.64

ppm;HC=CCl 呈现 1 个双峰,δ=6.81 ppm;取代茂环的 α-H 呈现 1 个单峰,δ=4.65 ppm;取代茂环的 β-H 呈现 1 个单峰,δ=4.40 ppm;非取代茂环的 H 呈现 1 个单峰,δ=4.18 ppm。上述实验结果与配合物 **1** 的结构相一致,表明确实发生了缩合反应,生成了如 Scheme 所示的席夫碱。

配合物 **2** 的 IR 光谱表明,其在 3436 cm⁻¹ 处有 1 个很强的吸收峰,是-OH 的特征伸缩振动峰;在 1619 cm⁻¹ 处有 1 个很强的吸收峰,为 C=N 的特征伸缩振动峰;在 1590 cm⁻¹ 处显示出 C=C 的特征伸缩振动峰。在上述同样条件下测定了配合物 **2** 在 CH₂Cl₂ 溶液中的 UV 光谱,如图 2 所示。由图 2 可知,配合物 **2** 在 365 nm 发生了 π → π* 跃迁^[7],其摩尔吸收系数 ε=15 157;在 504 nm 处发生了 MLCT 跃迁^[7],其摩尔吸收系数 ε=2 249。由于配合物 **2** 中也存在大 π 共轭键,因此,该跃迁相对于二茂铁亦发生了明显的红移。根据核磁共振氢谱,配合物 **2** 在 11.69 ppm 处出现 1 个较宽的单峰,为 OH 上氢的特征峰;在化学位移 8.68 ppm 处,呈现 1 个双峰,为 HC=N 上氢的特征峰;在 7.46.9 ppm 出现苯环的特征峰,可分别归属如下:Ha 和 Hc,δ=7.37 ppm,为

图 1 配合物 **1** 和 **2** 的红外光谱Fig.1 Infrared Spectrometry of complex **1** and **2**

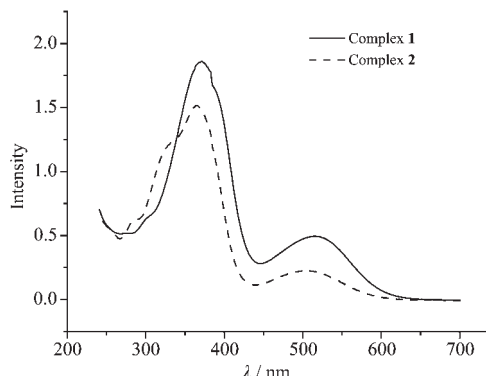


图2 配合物1和2的紫外光谱

Fig.2 Ultraviolet visible spectrometry of complex 1 ($1.0 \times 10^{-4} \text{ mol} \cdot \text{L}^{-1}$) and 2 ($1.0 \times 10^{-4} \text{ mol} \cdot \text{L}^{-1}$)

多重峰;Hd, $\delta=7.33$ ppm,为双峰;Hb, $\delta=6.96$ ppm,为多重峰(苯环H的编号见Scheme);在 $\delta=6.80$ ppm处观测到1个双峰,为HC=CCl上氢的特征峰;茂环氢的核磁共振峰如下:取代茂环的 α -H呈现1个单峰, $\delta=4.73$ ppm;取代茂环的 β -H呈现1个单峰, $\delta=4.48$ ppm;非取代茂环的H呈现1个单峰, $\delta=4.23$ ppm。上述氢的化学位移与配合物2的结构完全相符。因此,从核磁共振氢谱可以看出,配合物1与水杨醛发生了反应,生成了新的席夫碱2。

由配合物1和2的UV吸收峰可知,配合物1的 $\pi \rightarrow \pi^*$ 跃迁和MLCT跃迁相对于2均发生了红移,且吸收强度也较大,这是由于配合物1的共轭体系更大,使得 $\pi \rightarrow \pi^*$ 跃迁和M \rightarrow L的荷移跃迁所需的能量降低,因而谱带发生红移,吸收强度(ε)也逐渐增加。

2.2 晶体结构描述

配合物1的晶体结构见图3,主要键长和键角列于表2。

表2 配合物1的主要键长与键角

Table 2 Selected bond lengths (nm) and bond angles (°) for complex 1

C(1)-C(11)	0.146 5(8)	C(11)-C(12)	0.136 6(7)	C(12)-C(13)	0.146 2(7)
C(13)-N(1)	0.139 1(8)	N(1)-N(1A)	0.143 0(11)	C(11)-Cl(1)	0.176 4(6)
C(12)-C(11)-C(1)	119.5(5)	C(11)-C(12)-C(13)	118.6(5)	N(1)-C(13)-C(12)	119.0(5)

Symmetry transformation used to generate equivalent atoms: A: $x, -y+3/2, z-1/2$.

2.3 配合物的循环伏安(CV)性质

采用三电极体系,以铂圆盘电极为工作电极、铂丝电极为对电极、 Ag^+/Ag 为参比电极(Ag^+ 的浓度 $0.01 \text{ mol} \cdot \text{L}^{-1}$),高氯酸四丁基铵(TBAP, $0.10 \text{ mol} \cdot \text{L}^{-1}$)为支持电解质, CH_2Cl_2 为溶剂,测定了配合物的电

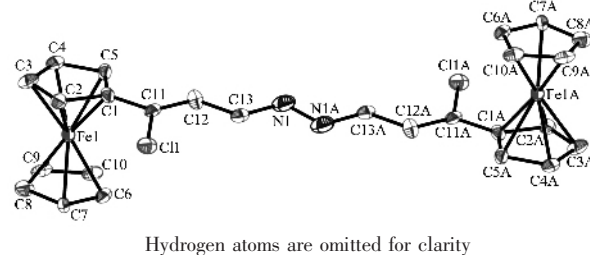


图3 配合物1的ORTEP图

Fig.3 ORTEP diagram of complex 1 with ellipsoids drawn at the 30% probability level

配合物1的分子中存在对称中心。在配合物1中,取代的和非取代的二茂铁中的2个茂环平面接近平行,其二面角为 2.2° 。铁与茂环的距离为0.1610 nm和0.1636 nm,铁与茂环中C原子的距离是 $0.1966(5)\sim0.2084(5)$ nm。茂环内的C-C键长在 $0.1372(8)\sim0.1475(7)$ nm范围内,C-C-C键角平均值为 $108.0(5)^\circ$,和文献值相近^[8]。C(13)-N(1)中的C=N键长是0.1391(8) nm,这与含有二茂铁基团的席夫碱的C=N键长类似^[9]。C(11)-Cl(1)键长也在预期的范围内。C(1)-C(11)-C(12),C(11)-C(12)-C(13)和C(12)-C(13)-N(1)的键角都接近 120° 。C(1)-C(11)和C(12)-C(13)键长比一般 Csp^2 - Csp^2 单键的值(0.148 nm)略小,而C(11)-C(12)键长比一般 Csp^2 - Csp^2 双键的值(0.134 nm)略大。类似的情况也出现在C(1A),C(11A),C(12A),C(13A)和N(1A)(对称代码(A): $x, -y+3/2, z-1/2$)等原子上。此外N(1)-N(1A)键长比N-N单键的键长要短(水合肼为0.146 nm),但是比N-N双键的键长要长(偶氮苯为0.126 nm)。综上所述,链上的C(11),C(12),C(13),N(1),N(1A),C(13A),C(12A)和C(11A)等原子与相应的茂环共轭,整个分子形成了一个大 π 共轭体系, π 电子离域在整个分子中。

化学性质。配合物的浓度为 $1.0 \times 10^{-3} \text{ mol} \cdot \text{L}^{-1}$,测定之前通 N_2 15~20 min除氧,在氮气气氛中进行测定。

图4给出了配合物1的循环伏安图,其扫描范围为 $-0.100\sim0.800$ V,扫描速度为 $0.1 \text{ V} \cdot \text{s}^{-1}$ 。由图4

可以看出配合物**1**发生了单电子氧化还原反应,对应于 Fe^+/Fe 电对的电子转移。阴极峰的电位 $E_{\text{pc}}=0.337\text{ V}$ (vs Ag^+/Ag),阳极峰的电位 $E_{\text{pa}}=0.458\text{ V}$ (vs Ag^+/Ag), $E_{1/2}=0.398\text{ V}$ (vs Ag^+/Ag), $i_{\text{pc}}/i_{\text{pa}}=0.943$ 。随着扫速的增加,氧化峰和还原峰的峰电流相应增大,且和扫速的平方根成正比。由上述实验现象可以证明,配合物**1**的氧化还原反应是可逆的。

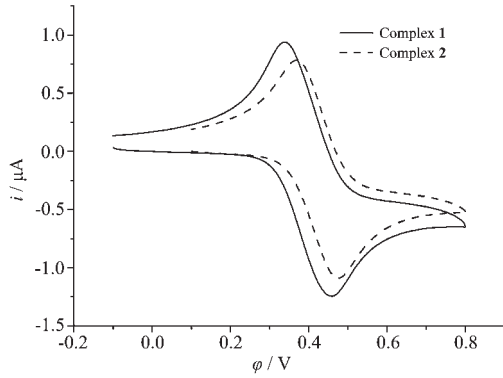


图4 配合物**1**和**2**的循环伏安图

Fig.4 Cyclic voltammograms of complex **1** and **2**

同样地,对配合物**2**进行了循环伏安测定,扫描范围为0.100~0.800 V,扫描速度为0.1 V·s⁻¹。从图4可以看出,配合物**2**在0.100~0.800 V扫描区间内,也发生了单电子氧化还原反应,对应于 Fe^+/Fe 电对的电子转移。阴极峰的电位是 $E_{\text{pc}}=0.369\text{ V}$ (vs Ag^+/Ag),阳极峰的电位是 $E_{\text{pa}}=0.475\text{ V}$ (vs Ag^+/Ag), $E_{1/2}=0.422\text{ V}$ (vs Ag^+/Ag), $i_{\text{pc}}/i_{\text{pa}}=1.022$ 。增加扫速,得到了和配合物**1**相类似的结果。由此可以判别出该电子转移也是可逆的。比较配合物**1**和**2**的 $E_{1/2}$,前者小于后者,这是由于配合物**1**的共轭体系更大,电子密度降低,整个分子体系中电子离域的程度较大,较易失去电子,因而具有较高的氧还活性。

3 结 论

采用缩合反应,合成了2个大π共轭二茂铁席夫碱配合物,得到了相应的晶体结构。通过对其光、电化学性质的测定,我们得到如下结论:配合物中的大共轭体系对化合物的光、电化学性质产生了显著的影响,使对应于二茂铁基团的 $\pi \rightarrow \pi^*$ 跃迁和MLCT跃迁发生了较大的红移,氧化还原峰电位明

显下降,还原能力提高。该研究对于拓展含有延伸电子共轭体系金属有机化合物的深入研究,探索化合物结构、性质和功能之间的相互关系,开发具有潜在应用价值的光电功能材料具有一定的指导意义。

参考文献:

- [1] (a)Elangovan A, Kao K M, Yang S W, et al. *J. Org. Chem.*, **2005**,**70**:4460~4469
(b)Marsden J A, Miller J J, Shirtcliff L D, et al. *J. Am. Chem. Soc.*, **2005**,**127**:2464~2476
(c)Zhang W W, Yu Y G, Lu Z D, et al. *Organometallics*, **2007**,**26**:865~873
- [2] (a)Tong R. *Organometallics*, **2005**,**24**:4854~4870
(b)Hirsch R, Katz E, Willner I. *J. Am. Chem. Soc.*, **2000**,**122**:12502~12504
(c)Anderson N A, Ai S, Chen D, et al. *J. Phys. Chem. B*, **2003**,**107**:14231~14239
- [3] (a)Sun X X, Qi C M, Ma S L, et al. *Inorg. Chem. Comm.*, **2006**,**9**:991~914
(b)Gibson V C, Gregson C K A, Halliwell C M, et al. *J. Organometal. Chem.*, **2005**,**690**:6271~6283
(c)Fang C J, Duan C Y, Mo H, et al. *Organometallics*, **2001**,**20**:2525~2532
- [4] Rosenblum M, Brawn N, Papenmeier J, et al. *J. Organometal. Chem.*, **1966**,**6**:173~180
- [5] Sheldrick G M. *SHELXS-97: Program for X-ray Crystal Structure Solution*. University of Göttingen, Göttingen, Germany, **1997**.
- [6] Sheldrick G M. *SHELXL-97: Program for X-ray Crystal Structure Refinement*. University of Göttingen, Göttingen, Germany, **1997**.
- [7] (a)Lai R Y, Fabrizio E F, Lu L, et al. *J. Am. Chem. Soc.*, **2001**,**123**(37):9112~9118
(b)Lai R Y, Kong X, Jenekhe S A, et al. *J. Am. Chem. Soc.*, **2003**,**125**(41):12631~12639
- [8] (a)Ossola F, Tomasin P, Benetollo F, et al. *Inorg. Chim. Acta*, **2003**,**353**:292~300
(b)Tendero M J L, Benito A, Martinez-Manez R, et al. *J. Chem. Soc., Dalton Trans.*, **1996**,**14**:2923~2927
- [9] Lopez C, Caubet A, Perez S, et al. *Polyhedron*, **2002**,**21**:2361~2367